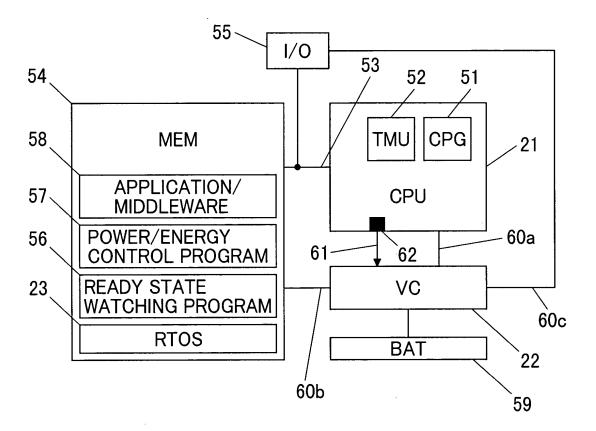
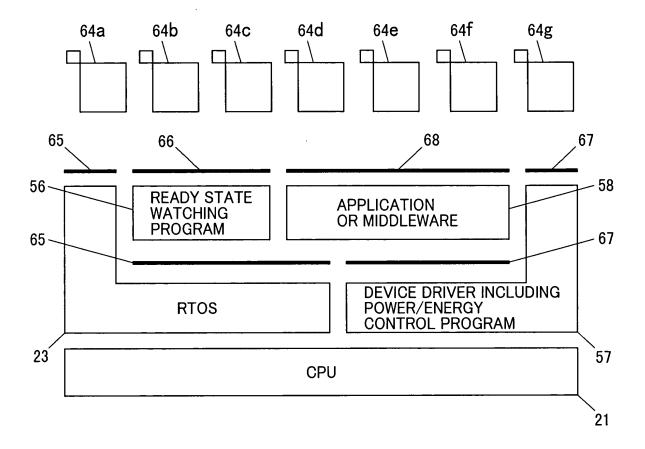
MISAKA et al Page 1 of 16 HITA.0510

FIG.1



MISAKA et al Page 2 of 16 HITA.0510

FIG.2



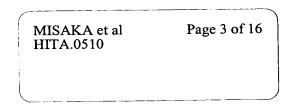


FIG.3

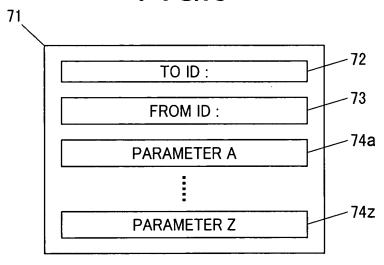
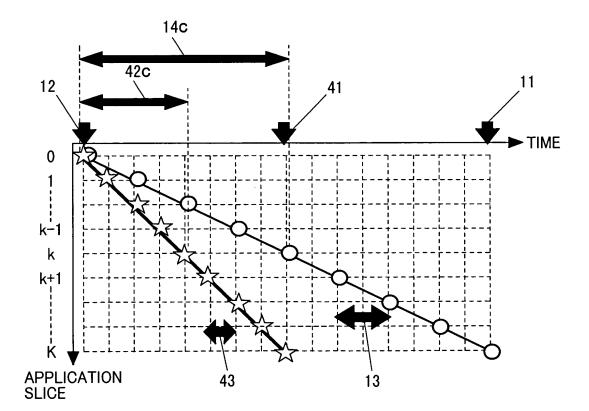
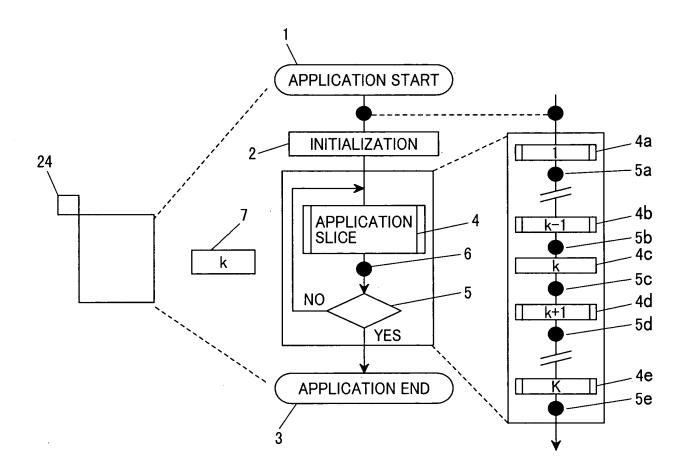


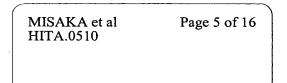
FIG.4



MISAKA et al Page 4 of 16 HITA.0510

FIG.5





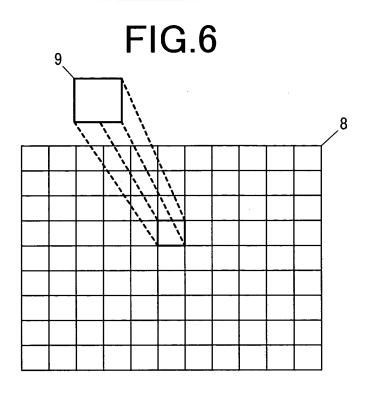
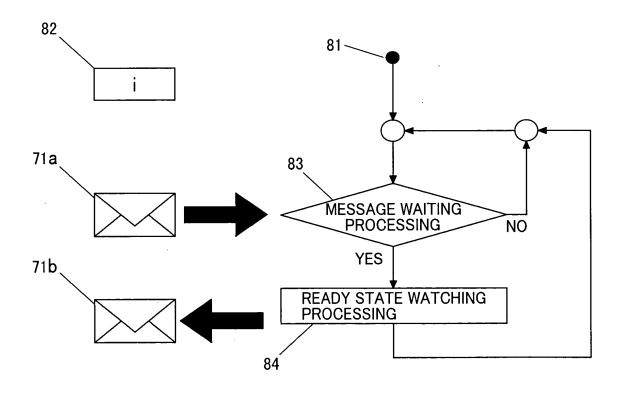


FIG.7



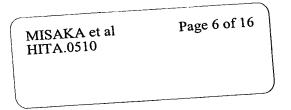
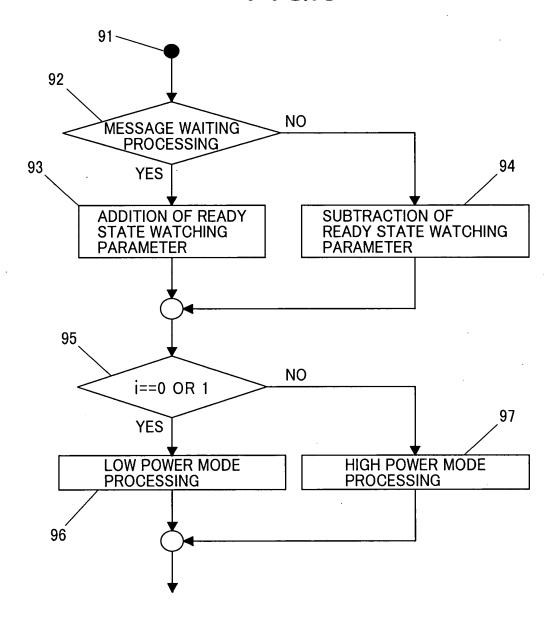


FIG.8



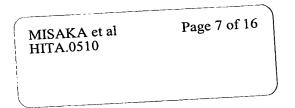


FIG.9

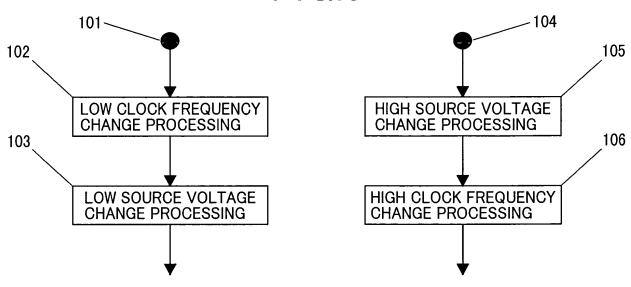
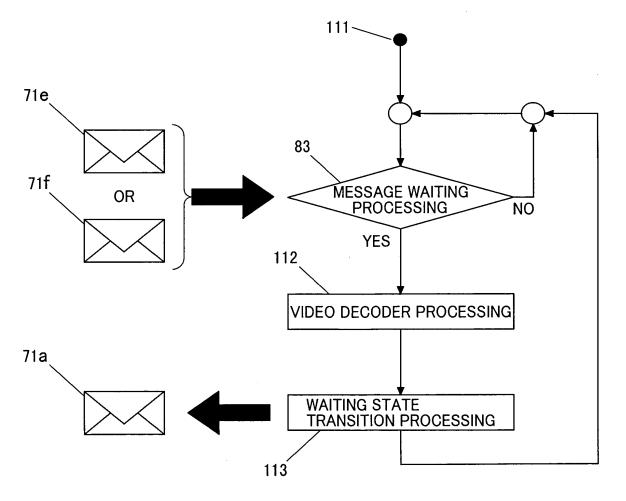
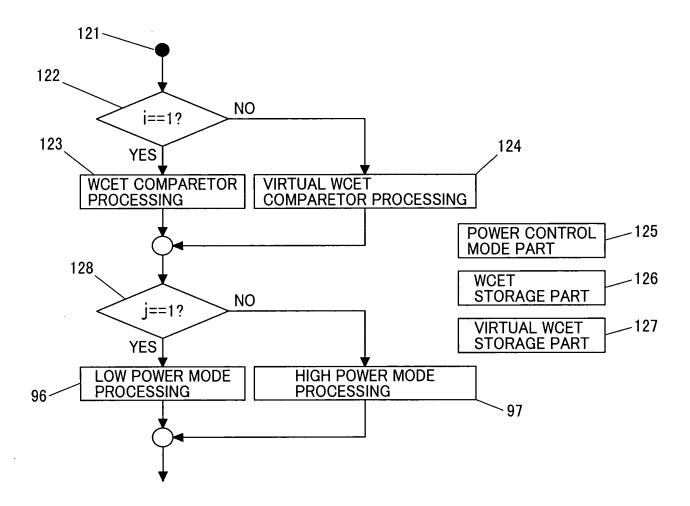


FIG.10



MISAKA et al Page 8 of 16 HITA.0510

FIG.11



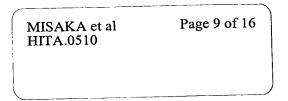


FIG.12

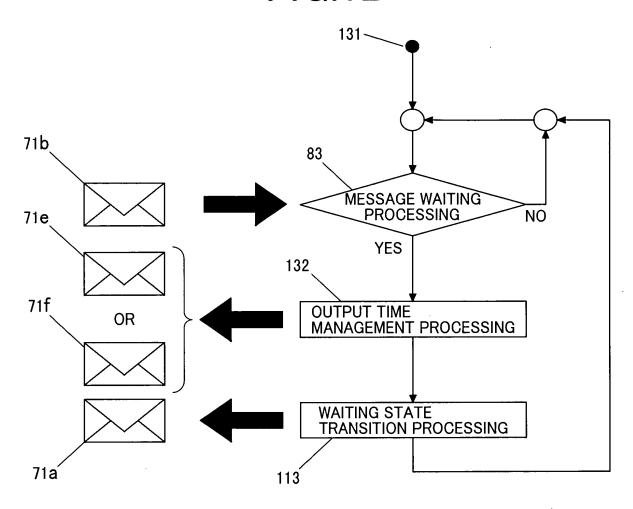
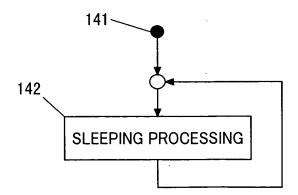
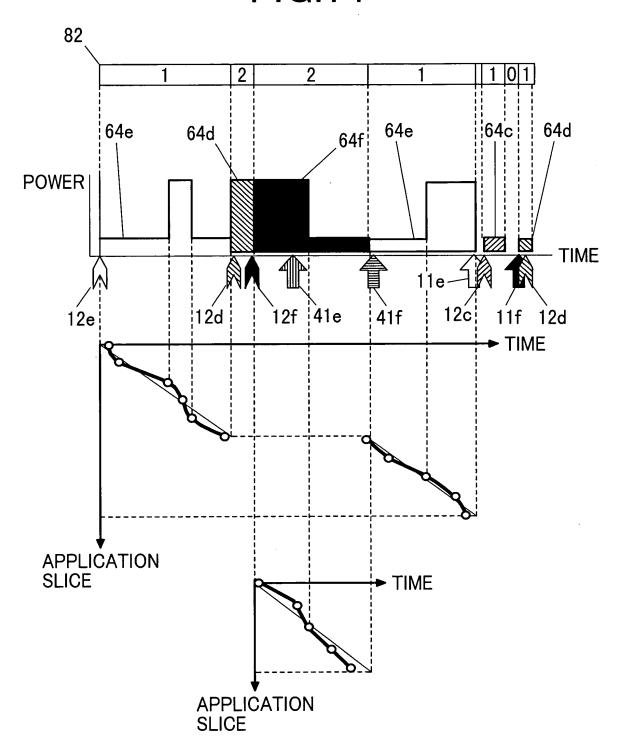


FIG.13



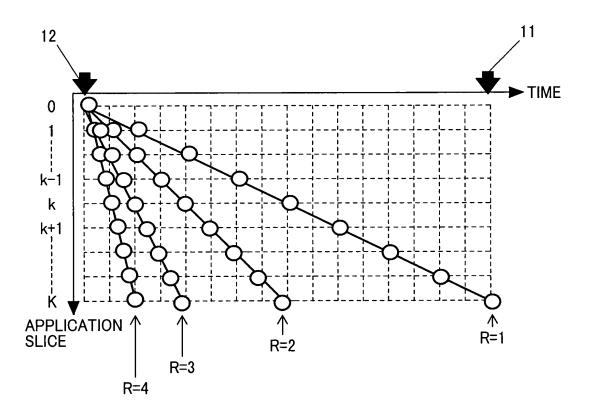
MISAKA et al Page 10 of 16 HITA.0510

FIG.14



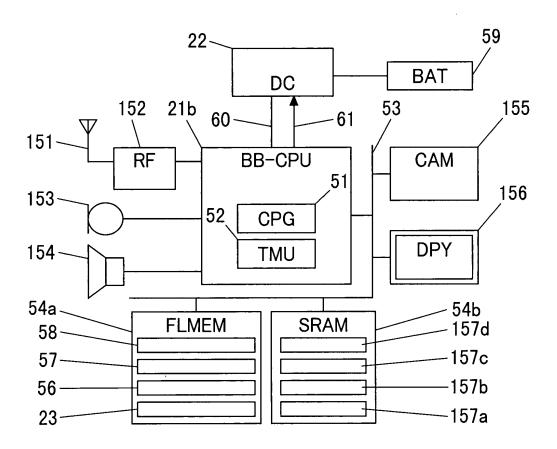
MISAKA et al Page 11 of 16 HITA.0510

FIG.15



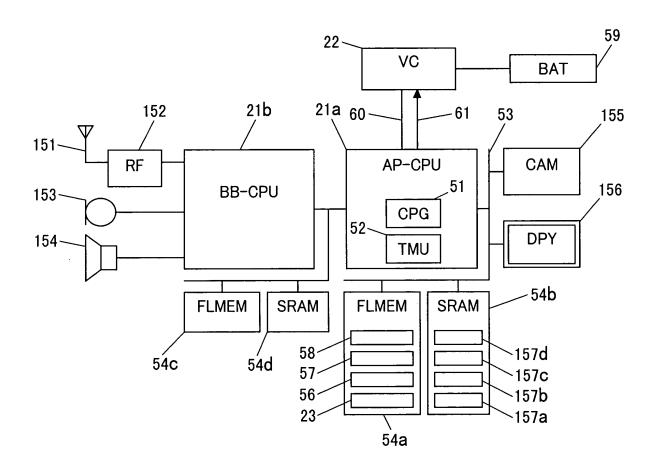
MISAKA et al Page 12 of 16 HITA.0510

FIG.16



MISAKA et al Page 13 of 16 HITA.0510

FIG.17



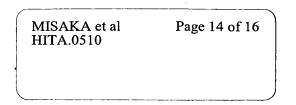


FIG.18

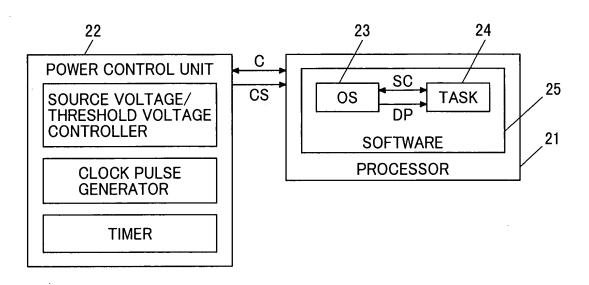
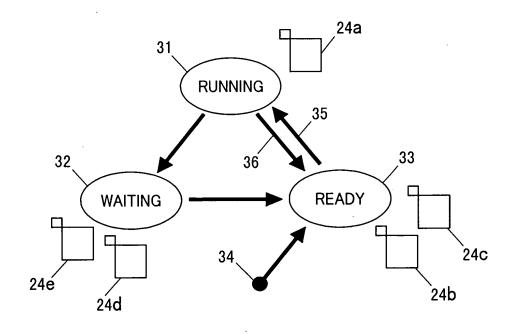
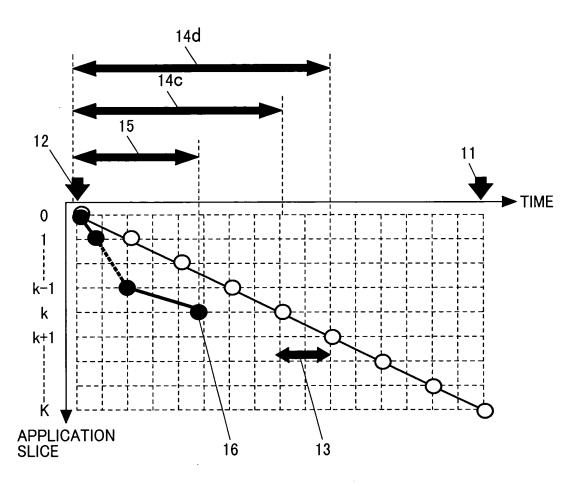


FIG.19



MISAKA et al HITA.0510 Page 15 of 16

FIG.20



MISAKA et al Page 16 of 16 HITA.0510

FIG.21

